

УДК 532.546

## ИССЛЕДОВАНИЕ РАДИАЛЬНО-УГЛОВОГО РАСПРЕДЕЛЕНИЯ ТЕМПЕРАТУРЫ ПРИ НЕИЗОТЕРМИЧЕСКОЙ ДВУХФАЗНОЙ ФИЛЬТРАЦИИ НЕФТИ И ВОДЫ

Р. А. Валиуллин, Р. Ф. Шарафутдинов,  
А. А. Садретдинов, А. С. Бочков

Башкирский государственный университет, 450000 Уфа  
E-mail: gframil@rambler.ru

На основе численного моделирования неизотермической двухфазной фильтрации нефти и воды с учетом эффекта Джоуля — Томсона и адиабатического эффекта исследуются распределения насыщенностей фаз, давления и температуры в неоднородной по проницаемости пористой среде. Показано, что наличие неоднородности в прискважинной зоне пласта приводит к возникновению немонотонного углового и радиального распределений температуры и насыщенностей фаз. При фильтрации нефти и воды в зависимости от соотношения проницаемостей пласта и при наличии участка, на котором имеется неоднородность распределения температуры в скважине по углу, наблюдается переход либо от отрицательных к положительным температурным аномалиям, либо наоборот.

**Ключевые слова:** температура, эффект Джоуля — Томсона, адиабатический эффект, радиально-угловая неоднородность распределения проницаемости, скважина, пласт, двухфазная фильтрация.

При неизотермической фильтрации нефти и воды эффект Джоуля — Томсона и адиабатический эффект оказывают влияние на распределение температуры в пласте [1, 2]. На закономерностях изменения температуры основан термический метод исследования скважин и пластов [1–3].

При вскрытии пласта происходит изменение проницаемости в призабойной зоне. Радиус зоны нарушения однородности распределения проницаемости может составлять от нескольких сантиметров до десятков метров. В процессе эксплуатации скважины наблюдается загрязнение призабойной зоны пласта асфальтосмолистыми отложениями, что приводит к снижению ее проницаемости [4]. Неоднородность проницаемости призабойной зоны может быть обусловлена трещиноватостью коллектора, гидроразрывом пласта и т. д.

Известные математические модели температурного поля с учетом эффекта Джоуля — Томсона и адиабатического эффекта разработаны в основном для случая одномерной фильтрации нефти и воды. В этих моделях не учитывается неоднородность распределения по углу проницаемости призабойной зоны пласта [1–3, 5–7].

В данной работе численно исследуется нестационарное температурное поле в неоднородном по проницаемости пласте при фильтрации нефти и воды с учетом эффекта Джоуля — Томсона и адиабатического эффекта. При этом движение фаз описывается законом Дарси, диффузионный процесс переноса массы и перенос жидких фаз вследствие скачка капиллярного давления в фазах не учитываются.

Пренебрегая тепловыми потерями, сформируем математическую модель расчета радиально-углового распределения температуры, обусловленного эффектом Джоуля —

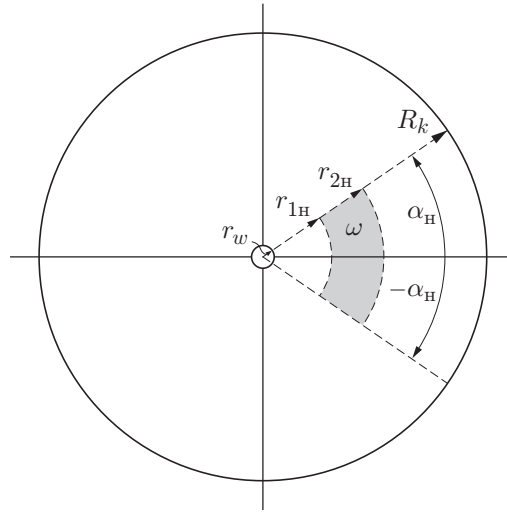


Рис. 1. Геометрия задачи (заштрихованная область — область неоднородности распределения проницаемости)

Томсона и адиабатическим эффектом, при фильтрации нефти и воды в неоднородном пласте. Пусть в пласте имеется неоднородность проницаемости в области  $\{\omega: r_{1н} \leq r \leq r_{2н}, -\alpha_n \leq \alpha \leq \alpha_n\}$  (рис. 1). При этом в первом приближении можно выделить три фазы (0 — скелет пористой среды, 1 — нефть, 2 — вода) и два компонента, участвующих в тепло- и массообменных процессах (1 — нефть, 2 — вода).

В двумерном  $(r, \alpha)$  случае математические модели имеют следующий вид:

— уравнения сохранения масс фаз:

$$\begin{aligned} m \frac{\partial S_1}{\partial t} &= \frac{1}{r} \frac{\partial}{\partial r} \left( r \frac{Kk_1(S_1)}{\mu_1} \frac{\partial P}{\partial r} \right) + \frac{1}{r^2} \frac{\partial}{\partial \alpha} \left( \frac{Kk_1(S_1)}{\mu_1} \frac{\partial P}{\partial \alpha} \right), \\ m \frac{\partial S_2}{\partial t} &= \frac{1}{r} \frac{\partial}{\partial r} \left( r \frac{Kk_2(S_2)}{\mu_2} \frac{\partial P}{\partial r} \right) + \frac{1}{r^2} \frac{\partial}{\partial \alpha} \left( \frac{Kk_2(S_2)}{\mu_2} \frac{\partial P}{\partial \alpha} \right); \end{aligned} \tag{1}$$

— уравнение притока тепла:

$$\begin{aligned} \frac{\partial}{\partial t} [m(\rho_1 c_1 S_1 + \rho_2 c_2 S_2)T + (1 - m)\rho_0 c_0 T] &+ \frac{1}{r} \frac{\partial}{\partial r} [r(\rho_1 c_1 v_1 + \rho_2 c_2 v_2)T] + \\ + \frac{1}{r} \frac{\partial}{\partial \alpha} [(\rho_1 c_1 v_1 + \rho_2 c_2 v_2)T] &= \frac{1}{r} \frac{\partial}{\partial r} \left( r \lambda_r \frac{\partial T}{\partial r} \right) + \frac{1}{r^2} \frac{\partial}{\partial \alpha} \left( \lambda_\alpha \frac{\partial T}{\partial \alpha} \right) + \\ + m(\rho_1 c_1 S_1 \eta_1 + \rho_2 c_2 S_2 \eta_2) \frac{\partial P}{\partial t} &+ (\varepsilon_1 \rho_1 c_1 v_1 + \varepsilon_2 \rho_2 c_2 v_2) \frac{\partial P}{\partial r} + \\ &+ \frac{1}{r} (\varepsilon_1 \rho_1 c_1 v_1 + \varepsilon_2 \rho_2 c_2 v_2) \frac{\partial P}{\partial \alpha}. \end{aligned} \tag{2}$$

Здесь

$$S_1 + S_2 = 1,$$

$S_i$  — насыщенности фаз;  $T$  — температура;  $P$  — давление;  $v_i$  — скорости фаз;  $c_i$  — теплоемкости фаз;  $c_0$  — теплоемкость скелета горной породы;  $\rho_i$  — плотности фаз;  $K, k_i$  — абсолютная и фазовые проницаемости;  $m$  — пористость;  $\mu_i$  — вязкости;  $\varepsilon_i$  — коэффициент Джоуля — Томсона;  $\eta_i$  — адиабатический коэффициент;  $\lambda_r, \lambda_\alpha$  — радиальная и угловая теплопроводности.

Начальные и граничные условия имеют следующий вид:

— начальные условия:

$$P(r, \alpha)|_{t=0} = P_{pl}, \quad S_1(r, \alpha)|_{t=0} = S_0, \quad T(r, \alpha)|_{t=0} = T_0$$

при  $0 \leq r \leq R_k, \quad 0 \leq \alpha \leq 2\pi;$

— граничные условия:

$$P(r_w, \alpha, t) = P_w, \quad P(R_k, \alpha, t) = P_{pl}, \quad S_2(R_k, \alpha, t) = 1, \quad T(R_k, \alpha) = T_0$$

при  $0 \leq \alpha \leq 2\pi, \quad t > 0.$

Здесь  $P_w$  — давление в скважине;  $P_{pl}$  — пластовое давление;  $S_0$  — начальная нефтенасыщенность;  $T_0$  — пластовая температура;  $r_w$  — радиус скважины;  $R_k$  — радиус контура питания.

Для фазовых проницаемостей приняты следующие зависимости:

$$k_1 = \left( \frac{S_1 - S_1^0}{1 - S_1^0} \right)^3, \quad k_2 = \left( \frac{S_2 - S_2^0}{1 - S_2^0} \right)^{2,5}$$

( $S_1^0, S_2^0$  — остаточные нефте- и водонасыщенности соответственно). Теплофизические параметры фаз  $c_i, \varepsilon_i, \eta_i, \lambda_r, \lambda_\alpha$  считаются постоянными и определяются по таблицам [5] для среднепластового давления  $P = P_0$  и температуры  $T = T_0$ .

Для дискретизации исходных уравнений (1), (2) используется метод контрольного объема. Задача симметрична по углу  $\alpha$  относительно значения  $\alpha = 0$ . При интегрировании средние величины относятся к узлу  $r_i, \alpha_j, t_{n+1}$ . После дискретизации (1) получаем

$$\int_{j-1/2}^{j+1/2} \int_{i-1/2}^{i+1/2} \int_n^{n+1} \frac{1}{r} \frac{\partial}{\partial r} \left( r \left( \frac{Kk_1(S)}{\mu_1} + \frac{Kk_2(S)}{\mu_2} \right) \frac{\partial P}{\partial r} \right) dt r dr d\alpha +$$

$$+ \int_{j-1/2}^{j+1/2} \int_{i-1/2}^{i+1/2} \int_n^{n+1} \frac{1}{r^2} \frac{\partial}{\partial \alpha} \left( \left( \frac{Kk_1(S)}{\mu_1} + \frac{Kk_2(S)}{\mu_2} \right) \frac{\partial P}{\partial \alpha} \right) dt r dr d\alpha = 0.$$

Данное уравнение приводится к виду

$$a_{ij} P_{ij-1}^{n+1} + b_{ij} P_{i-1j}^{n+1} + c_{ij} P_{ij}^{n+1} d_{ij} P_{ij+1}^{n+1} + e_{ij} P_{i+1j}^{n+1} = 0,$$

где

$$a_{ij} = (K^*)_{ij-1/2}^{n+1} \frac{1}{\Delta\alpha} s_r, \quad b_{ij} = r_{i-1/2} (K^*)_{i-(1/2)j}^{n+1} \frac{1}{\Delta r_i^w} s_\alpha,$$

$$c_{ij} = -r_{i+1/2} (K^*)_{i+(1/2)j}^{n+1} \frac{1}{\Delta r_i^e} s_\alpha - r_{i-1/2} (K^*)_{i-(1/2)j}^{n+1} \frac{1}{\Delta r_i^w} s_\alpha -$$

$$- (K^*)_{ij+1/2}^{n+1} \frac{1}{\Delta\alpha} s_r - (K^*)_{ij-1/2}^{n+1} \frac{1}{\Delta\alpha} s_r,$$

$$d_{ij} = (K^*)_{ij+1/2}^{n+1} \frac{1}{\Delta\alpha} s_r, \quad e_{ij} = r_{i+1/2} (K^*)_{i+(1/2)j}^{n+1} \frac{1}{\Delta r_i^e} s_\alpha, \quad K^* = \frac{Kk_1(S)}{\mu_1} + \frac{Kk_2(S)}{\mu_2},$$

$s_r, \Delta r_i^w, \Delta r_i^e, s_\alpha$  — параметры расчетной сетки.

Для решения исследуемой системы уравнений относительно давлений используем поточечный метод верхней релаксации:

$$P_{ij}^{(\nu+1)} = (1 - \omega) P_{ij}^{(\nu)} - \omega (a_{ij} P_{ij-1}^{(\nu+1)} + b_{ij} P_{i-1j}^{(\nu+1)} + d_{ij} P_{ij+1}^{(\nu)} + e_{ij} P_{i+1j}^{(\nu)}) / c_{ij}.$$

По известному давлению вычисляется значение нефтенасыщенности на новом временном слое по явной формуле

$$S_1^{n+1} = S_1^n + \left( r_{i+1/2} (K_1^*)_{i+(1/2)j}^{n+1} \frac{P_{i+1j}^{n+1} - P_{ij}^{n+1}}{\Delta r_i^e} - r_{i-1/2} (K_1^*)_{i-(1/2)j}^{n+1} \frac{P_{ij}^{n+1} - P_{i-1j}^{n+1}}{\Delta r_i^w} \right) \frac{\Delta t}{m_{ij} V_{ij}} s_\alpha + \\ + \left( (K_1^*)_{ij+1/2}^{n+1} \frac{P_{ij+1}^{n+1} - P_{ij}^{n+1}}{\Delta \alpha} - (K_1^*)_{ij-1/2}^{n+1} \frac{P_{ij}^{n+1} - P_{ij-1}^{n+1}}{\Delta \alpha} \right) \frac{\Delta t}{m_{ij} V_{ij}} s_r.$$

После дискретизации уравнение притока тепла имеет вид

$$\{m[(\rho_1 c_1 S_1 + \rho_2 c_2 S_2) T]_{ij}^{n+1} + (1-m)(\rho_0 c_0 T)_{ij}^{n+1} - \\ - m[(\rho_1 c_1 S_1 + \rho_2 c_2 S_2) T]_{ij}^n - (1-m)(\rho_0 c_0 T)_{ij}^n\} V_{ij} + \\ + \{[r(\rho_1 c_1 v_1 + \rho_2 c_2 v_2) T]_{i+(1/2)j}^{n+1} - [r(\rho_1 c_1 v_1 + \rho_2 c_2 v_2) T]_{i-(1/2)j}^{n+1}\} s_\alpha \Delta t + \\ + \{[(\rho_1 c_1 v_1 + \rho_2 c_2 v_2) T]_{ij+1/2}^{n+1} - [(\rho_1 c_1 v_1 + \rho_2 c_2 v_2) T]_{ij-1/2}^{n+1}\} s_r \Delta t = \\ = \left( (r \lambda_r)_{i+(1/2)j}^{n+1} \frac{T_{i+1j}^{n+1} - T_{ij}^{n+1}}{\Delta r_i^e} - (r \lambda_r)_{i-(1/2)j}^{n+1} \frac{T_{ij}^{n+1} - T_{i-1j}^{n+1}}{\Delta r_i^w} \right) s_\alpha \Delta t + \\ + \left( \lambda_{\alpha ij+1/2}^{n+1} \frac{T_{ij+1}^{n+1} - T_{ij}^{n+1}}{\Delta \alpha} - \lambda_{\alpha ij-1/2}^{n+1} \frac{T_{ij}^{n+1} - T_{ij-1}^{n+1}}{\Delta \alpha} \right) s_r \Delta t + q_{DTij}^{n+1} \Delta t + q_{adij}^{n+1} \Delta t,$$

где  $q_{DTij}^{n+1}$ ,  $q_{adij}^{n+1}$  — члены, обусловленные эффектом Джоуля — Томсона и адиабатическим эффектом:

$$q_{DTij}^{n+1} = \frac{1}{2} \left( \varepsilon_1 \rho_1 c_1 \frac{k_1}{\mu_1} + \varepsilon_2 \rho_2 c_2 \frac{k_2}{\mu_2} \right)_{ij}^{n+1} \left[ K_{ri-(1/2)j} \left( \frac{P_{ij} - P_{i-1j}}{\Delta r_i^w} \right)^2 (r_i^2 - r_{i-1/2}^2) + \right. \\ \left. + K_{ri+(1/2)j} \left( \frac{P_{i+1j} - P_{ij}}{\Delta r_i^e} \right)^2 (r_{i+1/2}^2 - r_i^2) \right]^{n+1} s_\alpha + \\ + \left( \varepsilon_1 \rho_1 c_1 \frac{k_1}{\mu_1} + \varepsilon_2 \rho_2 c_2 \frac{k_2}{\mu_2} \right)_{ij}^{n+1} \left[ K_{\alpha ij-1/2} \left( \frac{P_{ij} - P_{ij-1}}{\Delta \alpha} \right)^2 + K_{\alpha ij+1/2} \left( \frac{P_{ij+1} - P_{ij}}{\Delta \alpha} \right)^2 \right]^{n+1} s_r, \\ q_{adij}^{n+1} = V_{ij} m_{ij} (\rho_1 c_1 S_1 \eta_1 + \rho_2 c_2 S_2 \eta_2)_{ij}^{n+1} \frac{P_{ij}^{n+1} - P_{ij}^n}{\Delta t}.$$

Тестирование задачи проводилось путем сравнения известного аналитического решения для теплового поля, обусловленного баротермическим эффектом (изменение температуры жидкости, обусловленное эффектом Джоуля — Томсона и адиабатическим эффектом, в нестационарном поле давления), при фильтрации однофазной однокомпонентной нефти с расчетными зависимостями температуры на выходе из пласта от времени [2, 8]. Различие соответствующих значений температуры не превышает 1 %.

На рис. 2–5 приведены результаты расчетов при следующих значениях термодинамических параметров фаз:  $c_0 = 800$  Дж/(кг · К),  $c_1 = 1880$  Дж/(кг · К),  $c_2 = 4200$  Дж/(кг · К),  $\varepsilon_1 = 0,4$  К/МПа,  $\varepsilon_2 = 0,2$  К/МПа,  $\eta_1 = 0,17$  К/МПа,  $\eta_2 = 0,015$  К/МПа. Вязкости нефтяной фазы и воды приняты равными  $\mu_1 = 0,005$  мПа · с,  $\mu_2 = 0,001$  мПа · с соответственно. Пластовое давление  $P_{pl} = 10$  МПа, давление на границе пласта (скважины)  $P_w = 5$  МПа. Участок неоднородности имеет следующие размеры:  $r_{1н} = 1$  м,  $r_{2н} = 2$  м,  $\alpha_н = 60^\circ$ ,  $r_w = 0,11$  м,  $R_k = 50$  м.

Рассмотрим случаи, когда проницаемость неоднородной области больше и меньше проницаемости пласта. В первом случае  $k_н = 0,1K$ , во втором  $k_н = 10K$ .

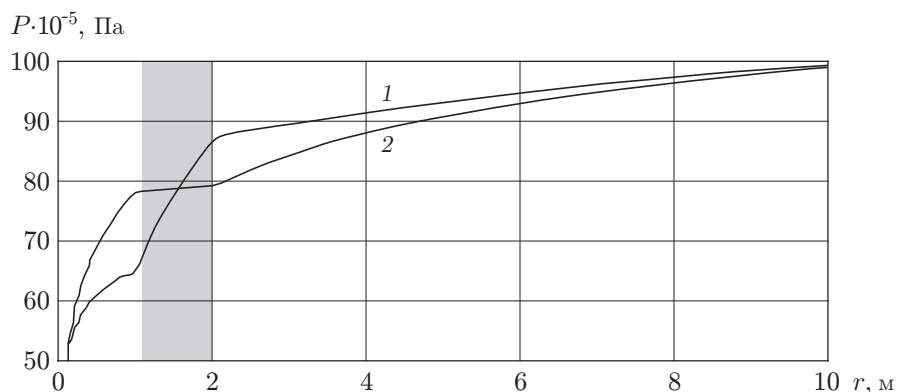


Рис. 2. Распределение давления в пласте:

1 —  $k_H = 0,1K$ ; 2 —  $k_H = 10K$ ; заштрихованная область — область неоднородности проницаемости

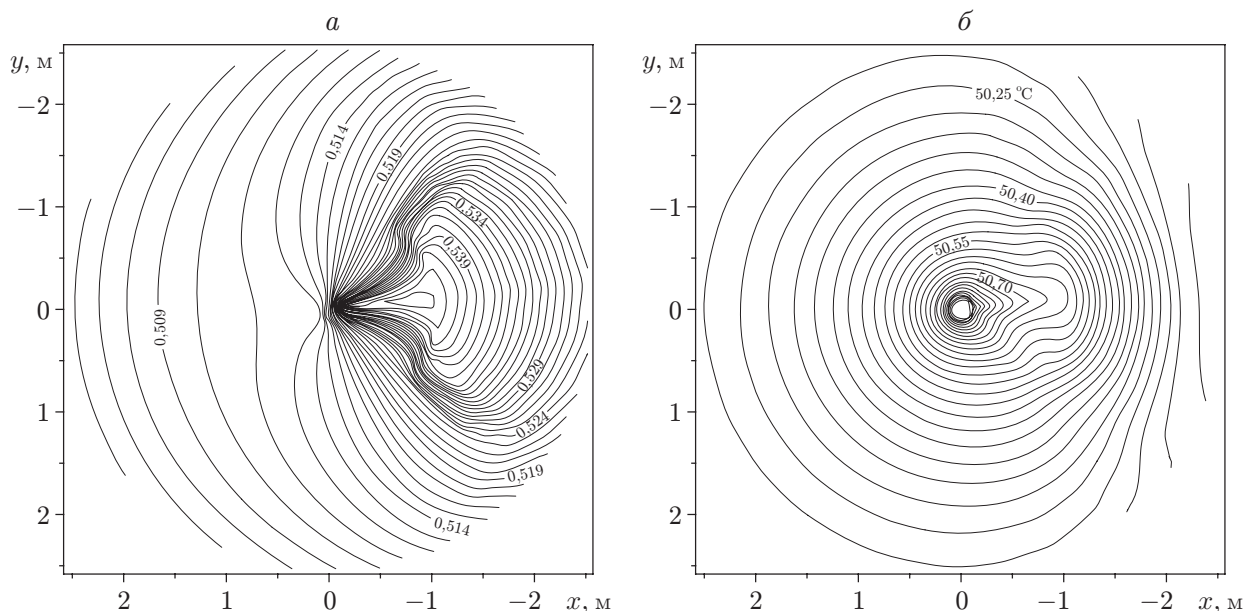


Рис. 3. Изолинии нефтенасыщенности  $S_1$  (а) и температуры  $T$  (б) в окрестности скважины при  $k_H = 0,1K$

На рис. 2 приведены распределения давления в пласте для случаев  $k_H = 0,1K$ ,  $10K$ . В области с меньшей проницаемостью наблюдается увеличение градиента давления, а в области с большей проницаемостью — его уменьшение. Распределение давления оказывает влияние на распределение температурного поля в пласте, обусловленное эффектом Джоуля — Томсона и адиабатическим эффектом. Изменение градиента давления в неоднородной области приводит к различным изменениям температуры в радиальном и угловом направлениях.

На рис. 3 приведены изолинии насыщенности нефти и температуры при  $k_H = 0,1K$ . В области с меньшей проницаемостью наблюдается аномалия нефтенасыщенности и температуры. Угловое распределение температуры при однофазной фильтрации нефти (кривые 1–3 на рис. 4) и двухфазной фильтрации после прорыва воды из пласта в скважину (кривые 4, 5 на рис. 4) различно. При однофазной фильтрации до момента прорыва воды

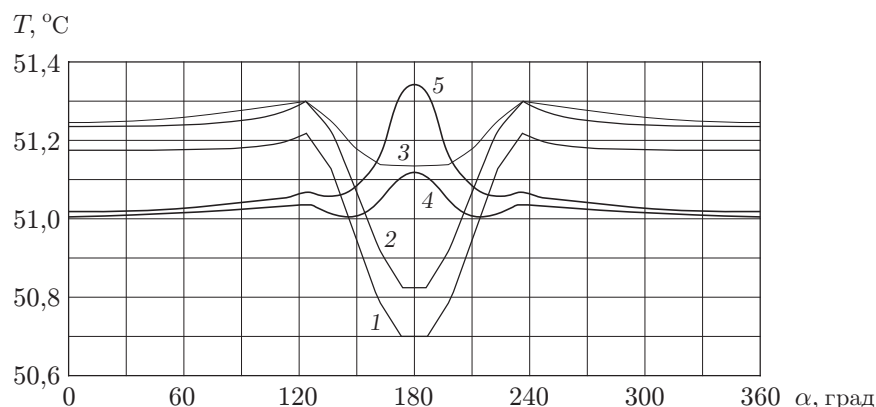


Рис. 4. Угловое распределение температуры на выходе из пласта при  $k_H = 0,1K$ ,  $\alpha_H = 60^\circ$  в различные моменты времени:  
 1 —  $t = 5$  ч; 2 —  $t = 10$  ч; 3 —  $t = 40$  ч; 4 —  $t = 60$  ч; 5 —  $t = 65$  ч

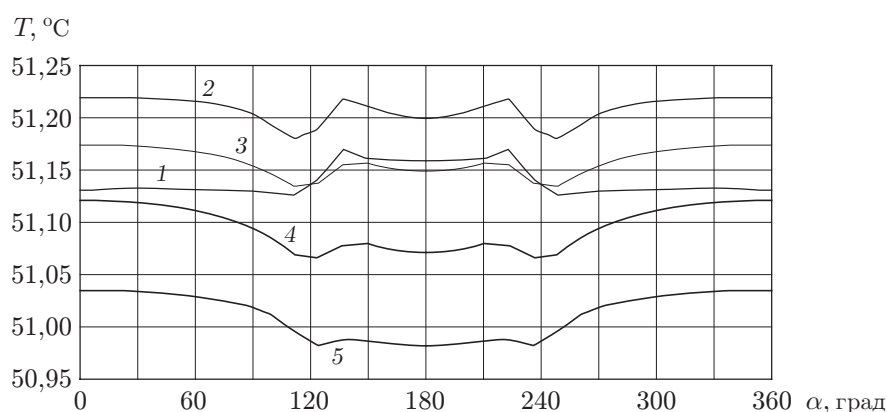


Рис. 5. Угловое распределение температуры на выходе из пласта при  $k_H = 10K$ ,  $\alpha_H = 60^\circ$  в различные моменты времени:  
 1 —  $t = 5$  ч; 2 —  $t = 20$  ч; 3 —  $t = 35$  ч; 4 —  $t = 40$  ч; 5 —  $t = 50$  ч

на участок неоднородности распределения проницаемости поступает жидкость с меньшей температурой, а после прорыва воды — разогретая двухфазная смесь воды и нефти.

Таким образом, в распределении температуры по углу наблюдается переход от отрицательных к положительным температурным аномалиям.

Для случая  $k_H = 10K$  угловое распределение температуры в прискважинной области показано на рис. 5. В этом случае после прорыва воды в области неоднородности (кривые 4, 5 на рис. 5) температура ниже, чем в однородной области.

Полученные результаты дополняют известные данные о формировании температурных полей в пласте при неизотермической фильтрации нефти и воды с учетом термодинамических эффектов и могут быть использованы при интерпретации результатов многодатчиковых температурных исследований скважин в условиях двухфазной фильтрации.

## ЛИТЕРАТУРА

1. Чекалюк Э. Б. Термодинамика нефтяного пласта. М.: Недра, 1965.
2. Валиуллин Р. А. Термические исследования при компрессорном освоении скважин / Р. А. Валиуллин, А. Ш. Рамазанов. Уфа: Изд-во Башкир. гос. ун-та, 1992.

3. **Валиуллин Р. А., Рамазанов А. Ш., Шарафутдинов Р. Ф.** Баротермический эффект при трехфазной фильтрации с фазовыми переходами // Изв. РАН. Механика жидкости и газа. 1994. № 6. С. 113–117.
4. **Люшин С. Ф.** Борьба с отложениями парафина при добыче нефти / С. Ф. Люшин, В. А. Рассказов, Д. М. Шейх-Али и др. М.: Гостоптехиздат, 1961.
5. **Гиматудинов Ш. К.** Физика нефтяного и газового пласта / Ш. К. Гиматудинов, А. И. Ширковский. М.: Недра, 1982.
6. **Федоров К. М., Шарафутдинов Р. Ф.** К теории неизотермической фильтрации с фазовыми переходами // Изв. АН СССР. Механика жидкости и газа. 1989. № 5. С. 78–85.
7. **Требин Г. Ф., Капырин Ю. Ф., Лиманский О. Г.** Оценка температурной депрессии в призабойной зоне эксплуатационных скважин // Тр. Всесоюз. нефтегазового науч.-исслед. ин-та. 1978. Вып. 64. С. 16–22.
8. **Валиуллин Р. А.** Термометрия многофазных потоков / Р. А. Валиуллин, А. Ш. Рамазанов, Р. Ф. Шарафутдинов. Уфа: Изд-во Башкир. гос. ун-та, 1995.

*Поступила в редакцию 22/III 2007 г.,  
в окончательном варианте — 31/X 2007 г.*

---